



**HAL**  
open science

## **Simulation numérique du décollement et recollement turbulent autour d'une plaque plane épaisse**

Christian Tenaud, Yann Fraigneau, Virginie Daru

► **To cite this version:**

Christian Tenaud, Yann Fraigneau, Virginie Daru. Simulation numérique du décollement et recollement turbulent autour d'une plaque plane épaisse. CFM 2011 - 20ème Congrès Français de Mécanique, Aug 2011, Besançon, France. <hal-03421201>

**HAL Id: hal-03421201**

**<https://hal.science/hal-03421201v1>**

Submitted on 9 Nov 2021

**HAL** is a multi-disciplinary open access archive for the deposit and dissemination of scientific research documents, whether they are published or not. The documents may come from teaching and research institutions in France or abroad, or from public or private research centers.

L'archive ouverte pluridisciplinaire **HAL**, est destinée au dépôt et à la diffusion de documents scientifiques de niveau recherche, publiés ou non, émanant des établissements d'enseignement et de recherche français ou étrangers, des laboratoires publics ou privés.



HAL Authorization

# Simulation numérique du décollement et recollement turbulent autour d'une plaque plane épaisse.

C. Tenaud<sup>a</sup>, Y. Fraigneau<sup>a</sup> et V. Daru<sup>a,b</sup>

a. LIMSI, UPR CNRS 3251, Campus Universitaire, Bât 508, B.P. 133, 91403 ORSAY Cedex

b. DynFluid, Arts et Métiers - ParisTech, 151 Bd de l'Hôpital, 75015 PARIS

## Résumé :

*Nous présentons les résultats de simulation numérique par Simulation des Grandes Echelles (LES) de l'écoulement turbulent autour d'une plaque plane épaisse pour étudier les mécanismes d'interaction entre les structures énergétiques et la génération du champ de pression instationnaire. Les résultats statistiques se comparent très favorablement aux résultats expérimentaux. Les présents résultats LES retrouvent les fréquences caractéristiques de "shedding", de "flapping" et des modes de Kelvin-Helmholtz qui ont été mesurées expérimentalement. Ces modes caractéristiques du décollement se retrouvent également sur la signature en pression, y compris relativement loin de la zone de décollement.*

## Abstract :

*This study deals with the numerical predictions through Large-Eddy Simulation (LES) of the separated-reattached turbulent flow over a blunt flat plate for analyzing main coherent structure features and their relation to the unsteady pressure field. Compared to experiments, LES results very well predict mean and fluctuating pressure and velocity fields. Flapping, shedding as well as Kelvin-Helmholtz characteristic frequencies deduced by present simulations are in very good agreement with experimental values generally admitted. These characteristic modes are also visible on unsteady pressure signals, even rather far away from the separation.*

**Mots clefs :** : LES ; schéma de haute précision ; couche limite turbulente décollée

## 1 Introduction

Cette étude s'intéresse à la simulation numérique de l'écoulement turbulent généré au voisinage du bord d'attaque franc d'une plaque plane épaisse. Cette configuration académique est représentative des écoulements fortement décollés qui se produisent autour de véhicules terrestres. Elle constitue un modèle simplifié pour étudier la dynamique spatio-temporelle et les caractéristiques principales d'un décollement massif suivi d'un recollement de la couche limite turbulente. La connaissance des mécanismes de production du champ acoustique autour d'une automobile, d'un train ou d'un avion est essentielle si on veut réduire les nuisances sonores, que ce soit dans le champ lointain comme à l'intérieur de l'habitacle où généralement les fréquences du bruit transmis se situent sur celles de la parole. L'un des enjeux est alors de savoir prédire avec précision la dynamique tourbillonnaire ainsi que le couplage avec le champ de pression fluctuante [10]. Dans cette optique, et afin de prendre en compte les mécanismes de couplage, une approche compressible a été suivie ici en prenant soin d'utiliser un schéma numérique précis et performant pour pouvoir décrire de tels phénomènes.

L'écoulement autour d'une plaque plane épaisse a été étudiée expérimentalement par de nombreux auteurs qui ont mis en évidence la structuration de l'écoulement aussi bien dans le décollement que plus en aval dans la relaxation vers une couche limite turbulente d'équilibre. En regard, il existe peu de simulations numériques conduites sur ce type de géométrie [17, 20, 13]. Elles ont toutes été menées dans le domaine des écoulements incompressibles. Dans ce travail, pour avoir accès au champ

de pression instationnaire couplé avec la dynamique de l'écoulement, nous considérons les équations de Naviers-Stokes compressibles dans une approche de Simulation des Grandes Echelles (*LES*). Notre objectif est ici de fournir des solutions *LES* de référence, en complément des expériences menées à l'Institut Pprime de Poitiers. Cette base de données numériques servira pour développer des méthodes d'analyse des phénomènes de couplage entre les structures tourbillonnaires et la génération de pression fluctuante au sein de l'écoulement, travaux menés dans le cadre de l'ANR DIB. Dans ce papier, nous validons les résultats numériques en les comparant aux mesures expérimentales obtenues à l'Institut Pprime [16] et aux résultats numériques et expérimentaux de la littérature [4, 12, 17, 20, 13].

## 2 Configuration géométrique et méthodes numériques

Nous considérons une plaque plane adiabatique, d'épaisseur  $H = 3$  mm avec un bord d'attaque franc, disposée parallèlement à un écoulement uniforme de vitesse  $U_\infty = 40$  m.s<sup>-1</sup> et de température  $T_\infty = 300$  K à l'infini amont. Ces quantités sont prises comme valeurs de référence. La plaque est positionnée horizontalement au milieu du domaine de calcul qui s'étend sur  $L_x = 35H$  dans la direction principale de l'écoulement ( $x$ ),  $L_z = 17H$  dans la direction normale à la plaque ( $z$ ) pour limiter les effets de blocage, et  $L_y = 5H$  dans la direction transverse ( $y$ ). La face d'entrée du domaine est positionnée à  $10H$  en amont du bord d'attaque pour ne pas influencer sur les conditions d'entrée. Ces dimensions, requises pour limiter l'influence des conditions aux limites, sont très similaires à celles utilisées dans différentes études numériques précédentes [13, 20]. Pour, de plus, atténuer l'influence des frontières sur le développement de l'écoulement, des conditions de non-réflexion, basées sur les caractéristiques [15], ont été imposées sur les frontières amont d'entrée, aval de sortie, haute et basse du domaine. Dans la direction transverse ( $y$ ), nous prescrivons une condition de périodicité pour étudier la dynamique intrinsèque de l'écoulement sans l'utilisation de plaque de garde comme ce fut souvent le cas dans les expériences [4, 11]. Sur la frontière amont du domaine, un écoulement uniforme est imposé ( $\rho_\infty$ ,  $U_\infty$  et  $T_\infty$ ) correspondant à un nombre de Mach  $Ma = 0.115$  et un nombre de Reynolds  $Re_H = 7500$ . Signalons que, pour qu'une telle simulation *LES* de référence soit possible dans des temps de restitution acceptables, le nombre de Reynolds des simulations présentées est quatre à dix fois inférieur à ceux de la littérature [3, 4, 11, 12] et 10 fois inférieur aux expériences menées à l'Institut Pprime. Le maillage est constitué de  $(N_x \times N_y \times N_z) = (268 \times 121 \times 225)$  points. Il est raffiné dans la direction normale à la paroi ( $z$ ) pour assurer que le premier point au dessus de la plaque soit à une distance de moins d'une unité de paroi ( $\delta z^+|_{paroi} \leq 1$ ). Dans la direction principale de l'écoulement, le raffinement est effectué au bord d'attaque et dans la zone de recollement ( $\delta x^+ \simeq 24+$ ). Les points de maillage sont uniformément répartis dans la direction transverse ( $\delta z^+ = 16.6$  unités de paroi).

Les simulations sont obtenues par résolution des équations de Navier-Stokes compressibles en coordonnées cartésiennes, complétées par une loi d'état de gaz parfait. Nous considérons ici que le rapport des chaleurs spécifiques est constant ( $\gamma = 1,4$ , pour l'air) ainsi que le nombre de Prandtl ( $Pr = 0.73$ , pour l'air). Bien que le schéma utilisé pour la discrétisation des termes non-linéaires soit volontairement d'ordre élevé, il n'en demeure pas moins qu'une interaction dissipative/diffusive avec le modèle de sous-maille est inévitable dans le cadre de la *LES*. Pour s'affranchir de l'influence de la modélisation de sous-maille sur les résultats *LES*, plusieurs simulations ont été effectuées en utilisant deux modèles de sous-maille : le modèle d'échelles mixtes [18, 8] et le modèle dynamique de vorticit e [9, 14]. Les équations sont résolues par une approche "volumes-finis" grâce à un schéma de haute précision couplé espace-temps (OS7) pour les flux convectifs et un schéma centré du second ordre pour les flux visqueux [5, 6]. La résolution multidimensionnelle est obtenue par un splitting directionnel de Strang. Les simulations ont été effectuées sur une architecture parallèle/vectorielle (NEC - SX8). La résolution des équations étant assurée par un algorithme explicite, elle est basée sur une technique de décomposition de domaine en utilisant une implémentation MPI, ce qui permet de réduire les temps de restitution. Le domaine de simulation est partagé en 8 sous-domaines, chacun utilisant  $135 \times 61 \times 113$  points de maillage. Le support du schéma de discrétisation OS7 s'étendant sur 9 points, un recouvrement de 5 points entre chaque sous-domaine est utilisé dans chaque direction. Par conséquent, 5 plans sont échangés par direction à la frontière entre deux sous-domaines consécutifs.

Pour comparer aux expériences, les quantités moyennes (notées  $\langle \bullet \rangle$ ) sont calculées par intégration

en temps et dans la direction transverse (homogène) :  $\langle \bullet \rangle = \frac{1}{L_y \tau} \int_{L_y} \int_{\tau} \bullet dt dy$ , où  $\tau$  est la période d'intégration. Ces valeurs moyennes sont calculées une fois atteint un état statistiquement convergé que nous supposons obtenu après un temps  $t_0 \simeq 110$ . Les traitements statistiques sont alors effectués sur une période  $\tau = 340$ , correspondant à environ 70 temps de retournement de la séparation.

### 3 Validation des simulations

Un décollement, initialement laminaire se produit dont l'origine est fixée par le bord franc de la plaque. Une transition vers la turbulence intervient alors dans la couche de mélange bordant le décollement aux environs de  $X/H = 0.75$  (en accord avec [4]). La longueur moyenne de rattachement constitue la première caractéristique du décollement. Le modèle d'échelles mixtes prédit une longueur de recollement  $L_R = 3.68 H$ . Le modèle dynamique de vorticit  a tendance   raccourcir la longueur de décollement  $L_R = 3.38 H$ . Ces pr dictiones sous-estiment la longueur moyenne g n ralement admise  $L_R = 5 H$  [4], pour les  coulements   haut nombre de Reynolds, qui est effectivement retrouv e dans les exp riences de Pprime [16]. N anmoins, les pr sentes valeurs sont consistantes avec des r sultats de pr c dentes *LES* [19]   un nombre de Reynolds mod r  ( $Re_H = 3450$ ), qui pr disent des valeurs plus faibles que celles de l'exp rience. Il faut cependant mentionner que la longueur de recollement est une quantit  tr s sensible aux param tres de l' coulement puisque Cherry *et al.* [4] montrent que  $L_R \in [4, 5.5]$  pour des grands nombres de Reynolds, d pendant en particulier de la valeur du coefficient de blocage de la veine, de la dimension transverse et du taux de turbulence externe. Bien que la valeur ici pr dite soit proche de la borne inf rieure, un effet de la diminution du nombre de Reynolds n'est pas   exclure dans nos r sultats, pouvant expliquer la sous-estimation de  $L_R$ . En d pit de cette sous-estimation par rapport aux exp riences   plus grand nombre de Reynolds, les r sultats *LES* sur la vitesse et la pression peuvent n anmoins  tre compar s aux r sultats (num riques et exp rimentaux)   diff rents nombres de Reynolds, en rendant sans dimension les coordonn es par  $L_R$ .

Les profils de vitesses moyennes pr dites sont en tr s bon accord avec l'exp rience bien que le nombre de Reynolds soit dix fois plus faible, montrant ainsi la qualit  de la simulation. Les profils provenant des simulations avec le mod le d' chelles mixtes sont en bien meilleur accord avec les donn es exp rimentales que ceux pr dits par le mod le dynamique de vorticit  qui sous-estime le gradient vertical de  $\langle U \rangle$  et pr dit une couche limite plus  paisse. Ceci semble provenir d'un comportement diff rent dans la zone de s paration qui impacterait la distribution de l' nergie turbulente. Ce qui se traduit par un caract re l g rement plus diffusif du mod le dynamique de vorticit . Ce point pourra  tre approfondi dans une  tude ult rieure. La comparaison des profils des tensions de Reynolds entre les r sultats *LES* et les exp riences [16] est pr sent e sur les figures (1). Nous constatons que la couche de m lange est relativement bien pr dite par les *LES* et contrairement   la pr sentation de Tafti & Vanka [17], il n'est pas n cessaire de red finir la coordonn e verticale pour faire correspondre le centre de la couche de m lange. Le mod le d' chelles mixtes fournit des r sultats tr s en accord avec l'exp rience, particuli rement sur la composante verticale, m me si le pic sur la composante longitudinale   la premi re station est l g rement sous-estim  (Fig. 1). Plus en aval, les r sultats *LES* obtenus avec les deux mod les restent assez similaires, avec cependant une couche de m lange et une couche limite sensiblement plus  paisses dans le cas du mod le dynamique de vorticit . Les intensit s maximales des valeurs *rms* et du frottement turbulent sont atteintes au voisinage de  $x/L_R = 0.6 - 0.8$ , ce qui est quelque peu trop en amont puisque exp rimentalement ces intensit s maximales interviennent proche du recollement ( $x/L_R = 0.8 - 1$ ). Les intensit s de turbulence d croissent plus en aval pour retrouver des valeurs plus en ad quation avec une couche limite turbulente classique, bien que nous sachions que juste en aval du recollement, elle est loin d' tre   l' tat d' quilibre  nerg tique. Il faut signaler que les consid rations sur la position et l'intensit  des maxima de turbulence sont tout   fait en ad quation avec la distribution du coefficient de pression instationnaire. L'accord num rique/exp rience pour des nombres de Reynolds diff rents sugg re une faible influence de ce param tre sur les r sultats statistiques lorsqu'ils sont pr sent s dans un r f rentiel rendu sans dimension par  $L_R$ .

La couche de m lange qui borde le d collement jouant un r le important dans la dynamique de la s paration et du recollement, il est important que la simulation pr dise avec pr cision son d veloppement. Pour caract riser cette couche de m lange nous avons calcul  son  paisseur de vorticit   $\delta_\omega(x) = \langle$

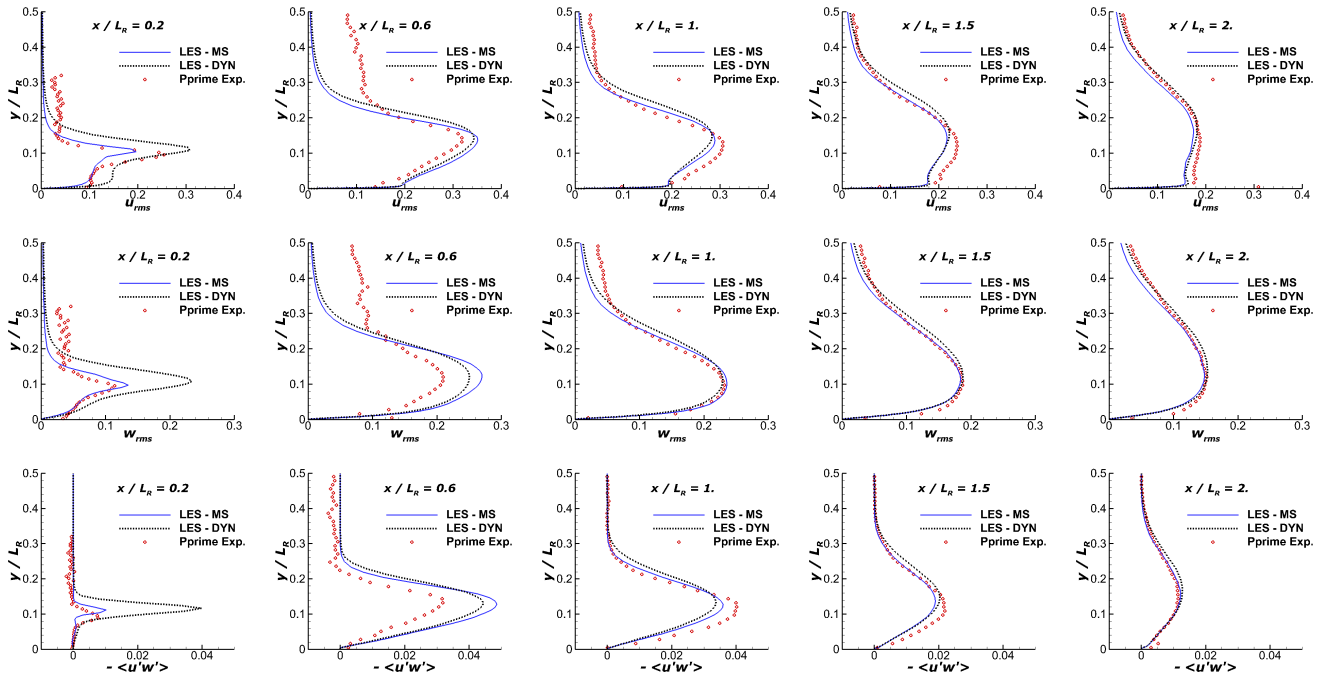


FIGURE 1 – Profils normaux à la plaque des composantes diagonales du tenseur de Reynolds  $\langle u'^2 \rangle^{1/2} / U_\infty$  (en haut),  $\langle w'^2 \rangle^{1/2} / U_\infty$  (au milieu) et du frottement turbulent  $-\langle u'w' \rangle / U_\infty^2$  (en bas) : modèle d'échelles mixtes (—), modèle dynamique de vorticité (- - -), comparés aux mesures expérimentale de l'Institut Pprime (●).

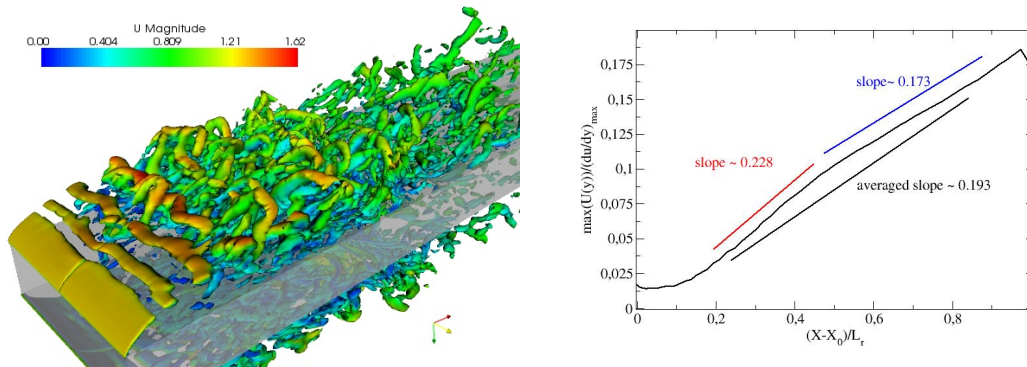


FIGURE 2 – A gauche, instantané du critère  $Q = 3$ , colorié par la norme du vecteur vitesse, sur lequel on distingue les structures de couche de mélange. A droite, distribution longitudinale de l'épaisseur de vorticité de la couche de mélange bordant le décollement.

$U >_{\max_z} - \langle U \rangle_{\min_z} / \max_z(\partial \langle U \rangle / \partial z)$ . Son évolution longitudinale présentée sur la figure (2), montre une croissance linéaire suivant la direction de l'écoulement principal, ce qui est le comportement attendu [2, 4]. Une fois la couche de mélange pleinement établie ( $x/L_R \geq 0,5$ ), la variation  $\langle d\delta_\omega/dx \rangle$  présente un très bon accord avec la valeur généralement admise *i.e.*  $\langle d\delta_\omega/dx \rangle = 0.17$  [4]. Nous pouvons souligner que ces valeurs sont tout à fait consistantes avec l'intervalle  $\langle d\delta_\omega/dx \rangle \in [0,145, 0,22]$  classiquement établi pour une couche de mélange sans contre courant [2].

#### 4 Analyses spectrales.

Les phénomènes de décollement laminaire et recollement turbulent sont caractérisés par deux modes relatifs au "shedding", lequel résulte de lâchers tourbillonnaires issus des mouvements à grande échelle

de la couche de mélange, et au “flapping” qui se caractérise par un mouvement de “respiration” du bulbe lié, pense-t-on, à une dynamique de l’ensemble du décollement. Ces deux modes sont associés à des fréquences caractéristiques autour d’un nombre de Strouhal de  $fL_R/U_\infty = 0,6 - 0,8$  pour le “shedding” et à plus basse fréquence pour le “flapping”  $fL_R/U_\infty \simeq 0,12$  [4, 12]. Les spectres d’énergie de la fluctuation de la composante longitudinale de vitesse sont donnés sur la figure (3) pour des sondes placées, dans la couche de mélange proche du bord d’attaque ( $x = 0,3 ; z = 0,158$ ), au dessus du décollement ( $x = 0,61 ; z = 0,61$ ) et au dessus de la couche limite turbulente recollée ( $x = 1,52 ; z = 0,61$ ). Le premier groupe de fréquences signe le phénomène à basse fréquence de “flapping” et ses modulations avec un nombre Strouhal fondamental  $fL_R/U_\infty \simeq 0,12$  (Fig. 3-gauche). Le deuxième groupe à plus haute fréquence correspond au phénomène de “shedding” et à ses modulations avec un nombre de Strouhal caractéristique centré autour de  $fL_R/U_\infty = 0,6$ , en accord avec la littérature. Une troisième fréquence émerge (Fig. 3-centre) centrée autour de  $fL_R/U_0 = 3,4$  qui correspond à la fréquence caractéristique de Kelvin-Helmholtz de la couche de mélange, car le nombre de Strouhal basé sur l’épaisseur de vorticit  (  $\delta_\omega$  ) et la vitesse de convection ( $U_c = (\langle U \rangle_{\max_z} + \langle U \rangle_{\min_z})/2$ ) de la couche de mélange, est en parfait accord avec la valeur g n ralement admise  $St_\omega = f\delta_\omega/U_c = 0,33$  [1, 7]. Au del  de cette fr quence, une zone inertielle avec sa pente caract ristique en  $-5/3$ , est pr dite sur un peu moins d’une d cade avant que la diffusion intrins que de l’ensemble des ingr dients num riques fasse son oeuvre, montrant ainsi la qualit  de l’approximation num rique. Cette  tude s’inscrivant dans une optique de meilleure connaissance des ph nom nes a roacoustiques, les spectres de pression fluctuante sont  galement fournis pour deux des sondes (Fig. 3-droite). Comme on pouvait s’y attendre, la pression fluctuante est tr s coupl e   la vitesse puisque les trois ph nom nes  nonc s ci-dessus sont  galement visibles sur ces spectres. Il est cependant   noter que le mode de Kelvin-Helmholtz est assez dominant sur la pression, ce qui confirme des r sultats pr liminaires en acoustique qui ont  t  men s   l’Institut Pprime, montrant que c’est majoritairement le mode 2D transverse qui domine l’acoustique.

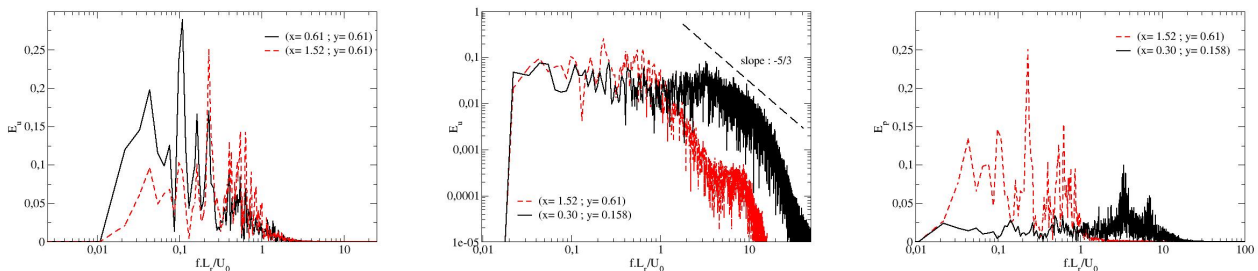


FIGURE 3 – Densit s spectrales des fluctuations, en diff rents points, de la vitesse longitudinale (repr sentation Log-lin aire,   gauche et Log-Log, au centre) et de la pression fluctuante (  droite).

## 5 Conclusions

L’ensemble des r sultats *LES* sur les valeurs moyennes et turbulentes se compare tr s favorablement avec les r sultats *DNS* de Tafti & Vanka [17] et *LES* de Yang & Voke [20]. Les conclusions similaires   celles tir es par ces auteurs, sur les l g res diff rences avec les exp riences, sont   attribuer   un effet de bas nombre de Reynolds des simulations et, peut- tre  galement,   un effet de blocage solide trop important. De ce fait, nous  tudions actuellement l’effet du nombre de Reynolds dans cette configuration. La connaissance de la dynamique de cet  coulement doit  tre approfondie pour mieux appr hender les interactions a roacoustiques ; c’est dans ce sens que s’orientent actuellement nos  tudes.

**Remerciements :** Les auteurs remercient sinc rement les exp rimentateurs de l’Institut Pprime de Poitiers d’avoir mis   notre disposition les mesures exp rimentales d taill es et pour leur participation aux nombreuses et fructueuses discussions autour des r sultats. Cette  tude est partiellement financ e

par l'A.N.R. dans le projet DIB (ANR-07-BLAN-0177). Ces travaux ont bénéficié d'un accès aux moyens de calcul de l'IDRIS au travers de l'allocation de ressources 2011-i2011020324 attribuée par GENCI (Grand Equipement National de Calcul Intensif).

## Références

- [1] L. P. Bernal and A. Roshko. Streamwise vortex structure in plane mixing layers. 170 :499–525, 1986.
- [2] G. L. Brown and A. Roshko. On density effects and large structure in turbulent mixing layers. *Journal of Fluid Mechanics*, 64 :775–816, 1974. part 4.
- [3] I. P. Castro and E. Epik. Boundary layer development after a separated region. *Journal of Fluid Mechanics*, 374 :91–116, 1998.
- [4] N.J. Cherry, R. Hillier, and M. E. M.P. Latour. Unsteady measurements in a separated and reattaching flow. *Journal of Fluid Mechanics*, 11 :13–46, 1984.
- [5] V. Daru and C. Tenaud. High order one-step monotonicity preserving schemes for unsteady flow calculations. *Journal of Computational Physics*, 193 :563–594, 2004.
- [6] V. Daru and C. Tenaud. Numerical simulation of the viscous shock tube problem by using a high resolution monotonicity-preserving scheme. *Computers & Fluids*, 38 :664–676, 2009.
- [7] J. Delville. Characterization of the organization in shear layers via the proper orthogonal decomposition. *Applied Scientific Research*, 53 :263–281, 1994.
- [8] L. Doris, C. Tenaud, and L. Ta Phuoc. Les of spatially developing 3d compressible mixing layer. *C.R. Acad. Sci. Paris*, t. 328, Série II b :567–573, 2000.
- [9] M. Germano, U. Piomelli, P. Moin, and W. H. Cabot. A dynamic subgrid-scale eddy viscosity model. *Physics of Fluids A : Fluid Dynamics*, 3 :1760–1765, 1991.
- [10] C. Hoarau, J. Borée, and Y. Laumonier, J. abd Gervais. Analysis of the wall pressure trace downstream of a separated region using extended proper orthogonal decomposition. *Physics of Fluids*, 18(055107), 2006.
- [11] M. Kiya and K. Sasaki. Structure of a turbulent separation bubble. *Journal of Fluid Mechanics*, 137 :83–113, 1983.
- [12] M. Kiya and K. Sasaki. Structure of large scale vortices and unsteady reverse flow in the reattaching zone of a turbulent separation bubble. *Journal of Fluid Mechanics*, 154 :463–491, 1985.
- [13] E. Lamballais, J. Silvestrini, and S. Laizet. Direct numerical simulation of flow separation behind a rounded leading edge : Study of curvature effects. *International Journal of Heat and Fluid Flow*, 31 :295–306, 2010.
- [14] M. N. Mansour, J. H. Ferziger, and W. C. Reynolds. Large eddy simulation of a turbulent mixing layer. Report TF 11, 1978.
- [15] T. J. Poinsot and S. K. Lele. Boundary conditions for direct simulations of compressible viscous flows. *Journal of Computational Physics*, 101 :104–129, 1992.
- [16] C. Sicot, J. Bauré, L.-E. Brizzi, and Y. Gervais. Private communication. Technical report, 2010.
- [17] D. K. Tafti and S. P. Vanka. A three-dimensional numerical study of flow separation and reattachment on a blunt plate. *Physics of Fluids*, A 3(12) :2887–2909, 1991.
- [18] C. Tenaud and L. Ta Phuoc. LES of unsteady compressible separated flow around NACA 0012 airfoil. In P. Kutler, J. Flores, and J.J. Chattot, editors, *Lecture Notes in Physics*, volume 490, pages 424–429. 15th International Conference on Numerical Methods in Fluid Dynamics, Monterey, CA, June 1996, 1997.
- [19] Z. Yang and P. R. Voke. Large-eddy simulation of separated leading-edge flow in general coordinates. *Int. J. Meth. Engng.*, 49 :681–696, 2000.
- [20] Z. Yang and P. R. Voke. Large-eddy simulation of boundary-layer separation and transition at a change of surface curvature. *Journal of Fluid Mechanics*, 439 :305–333, 2001.